

② 一维离散 Fourier 变换的阵列协处理器设计

7-13

The Design of Array Co-Processors for One-Dimensional
Fourier Transform

TP302.8

周六丁 程代杰 ✓ 邹华
Zhou Liuding Cheng Daijie Zhou Hua

(重庆大学电子信息学院, 重庆, 630044)

A

摘要 提出了一种用短 DFT 芯片构成长序列 DFT 的阵列协处理器的有效方法。此法易用 2^l 片、 2^l 长 DFT 芯片及 2^{2l} 个乘法器构成 2^{2l} 长的 DFT 阵列协处理器, 也易用 2^{l+1} 片、 2^l 长 DFT 芯片、 2^{2l+1} 个乘法器及 2^{2l} 个蝶形运算单元构成 2^{2l+1} 长的 DFT 阵列协处理器。文中给出了它们的并行结构及分析结果。它们具有并行计算度高, 芯片需求少, 简单易实现的特点。

关键词 Fourier 变换; 并行计算; 体系结构

中国图书资料分类法分类号 TP302.8

傅里叶变换, 协处理器, DFT

ABSTRACT In this paper, an efficient method for constructing array co-processors for one-dimensional DFT was proposed. With it, we can construct an array co-processor for 2^{2l} points DFT with 2^l chips (2^l points per chip) and 2^{2l} multiplication units; and an array co-processor for 2^{2l+1} points DFT with 2^{l+1} chips (2^l points per chip), 2^{2l+1} multiplication units and 2^{2l} butterfly operation units.

KEYWORDS fourier transform; parallel computing; systematical structure

0 引 言

离散 Fourier 变换(即 DFT)在众多领域中起着极重要作用, 其高速计算是一重要研究课题。人们已提出许多快速算法^[1], 并行算法^[2,3], DFT 专用硬件^[4], 阵列机^[5]和宏流水向量机^[6]。

因多维 DFT 可归为一维 DFT 计算, 故 DFT 的快速计算常归为一维 DFT 快速计算的研究, 从实用角度看, Cooley-Tukey 的基2FFT 因结构简单, 适用面宽等优点而仍广泛采用。在硬件及专用机方面, 协处理器(如 TMS32020^[1])是性能价格比较优的选择。因此本文基于 Cooley-Tukey FFT 研究一维 DFT 阵列型协处理器的设计。由于 Cooley-Tukey FFT 不具备任务级并行性(即不易用 VLSI 芯片实现), 故文中先给出一种新的计算1-DFT 的“长化短”算法(及修正本)。它(们)与 Cooley-Tukey FFT(简称普通 FFT)同样快, 但具有下述两个特点。

* 收文日期 1992-11-22

受国家自然科学基金和重庆博士基金资助

1) 规整性 即它(们)能将 2^N 长(或 2^{N+1} 长)DFT 化为 2^{N+1} (或 2^{N+2}) 个 2^L 长的计算。

2) 对称性 它(们)的计算流程的两阶段相同。 利用 1) 则可用 2^L 长芯片构成 2^{2L} 长芯片构成 2^{2L} (或 2^{2L+1}) 长 DFT 阵列协处理器。利用 2) 可使芯片需求量减少一半。

文中随后给出了 2^{2L} 长及 2^{2L+1} 长的 DFT 阵列协处理器的并行结构及时耗分析结果,它们具有并行计算度高,芯片需求量少,数据传输率高,易于实现四方面优点。

1 一维 DFT 的两种快速算法

不失一般性,仅考虑下面一维 DFT 的计算。

$$F(k) = \sum_{m=0}^{M-1} f(m) \cdot W_N^{km} \cdot m \quad (1)$$

$$(k = 0, 1, \dots, M-1; M = 2^a; a \in \mathbb{Z}^+)$$

其中 $W_N = e^{-j2\pi/N}$

1.1 一维 DFT 的普通 FFT 算法(Cooley-Tukey FFT)

因读者已对 Cooley-Tukey FFT 很熟悉^[1],这里仅引用有关结论。

结论 1 Cooley-Tukey FFT 完成 $M (= 2^a)$ 点复序列 DFT 所需复数乘,加次数 $M_c(M)$, $A_c(M)$ 分别约为:

$$M_c(M) = \frac{M}{2} \cdot \log_2 M; \quad A_c(M) = M \cdot \log_2 M$$

1.2 一维 DFT 的“长化短”FFT 算法

因 $M = 2^a (a \in \mathbb{Z}^+)$, 则 $M = M_0 \cdot M_1$, $M_0 = 2^{\lfloor a/2 \rfloor}$, $M_1 = 2^{a - \lfloor a/2 \rfloor}$. 定义两个 $M_0 \times M_1$ 的二维数组 $\{y(m_0, m_1)\}$, $\{Y(k_0, k_1)\}$. 若将序列 $\{f(m)\}$ 按列序依次放入 $\{y(m_0, m_1)\}$, 则建立起 $f(m)$ 与 $y(m_0, m_1)$ 间一一对应 ($0 \leq m \leq M-1$; $0 \leq m_0 \leq M_0-1$; $0 \leq m_1 \leq M_1-1$). 如将 $\{Y(k_0, k_1)\}$ 按行序依次放入 $\{F(k)\}$ 中, 则建立起 $\{Y(k_0, k_1)\}$ 与 $F(k)$ 间一一对应 ($0 \leq k \leq M-1$; $0 \leq k_0 \leq M_0-1$; $0 \leq k_1 \leq M_1-1$). 两种情形如图 1, 2 所示。

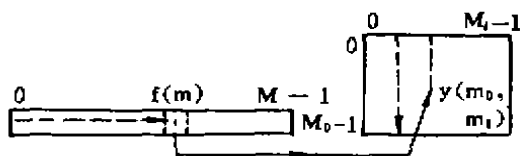


图 1 $f(m)$ 与 $y(m_0, m_1)$ 间对应关系, 其中有

$$\begin{cases} f(m) \leftrightarrow y(m_0, m_1) \\ m = m_1 \cdot M_0 + m_0 \\ (0 \leq m \leq M-1; 0 \leq m_0 \leq M_0-1; \\ 0 \leq m_1 \leq M_1-1) \end{cases}$$

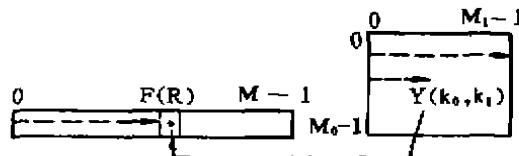


图 2 $F(k)$ 与 $Y(k_0, k_1)$ 间的对应关系, 其中有

$$\begin{cases} f(k) \leftrightarrow y(k_0, k_1) \\ k = k_0 \cdot M_1 + k_1 \\ (0 \leq k \leq M-1; 0 \leq k_0 \leq M_0-1; \\ 0 \leq k_1 \leq M_1-1) \end{cases}$$

定理 1 令 $M = M_0 \cdot M_1 (M = 2^a; M_0 = 2^{\lfloor a/2 \rfloor}; M_1 = 2^{a - \lfloor a/2 \rfloor})$, 则式(1)等价于下三步计算。

(i) 将序列 $\{f(m)\}$ 按列序依次放入二维数组 $y(m_0, m_1)$ 中(方法见图 1)。

(ii) 计算:

$$Y(k_0, k_1) = \sum_{m_0=0}^{M_0-1} \sum_{m_1=0}^{M_1-1} y(m_0, m_1) \cdot W_{M_1}^{m_1 \cdot k_1} \cdot W_{M_0}^{m_0 \cdot k_0} \cdot W_M^{m_0 \cdot k_1} \quad (2)$$

$$(0 \leq k_0 \leq M_0 - 1; 0 \leq k_1 \leq M_1 - 1)$$

(iii) 将二维数组 $\{Y(k_0, k_1)\}$ 按行序依次放入 $\{F(k)\}$ 中(方法见图 2).

证明: 见文献[3].

定理 1 提供了另一种计算 1-DFT 的方法. 注意到式(2)的计算等价于下三步的计算.

$$Z(m_0, k_1) = \sum_{m_1=0}^{M_1-1} y(m_0, m_1) \cdot W_{M_1}^{m_1 \cdot k_1} \quad (3)$$

$$(0 \leq m_0 \leq M_0 - 1; 0 \leq k_1 \leq M_1 - 1)$$

$$Z'(m_0, k_1) = Z(m_0, k_1) \cdot W_M^{m_0 \cdot k_1} \quad (4)$$

$$(0 \leq m_0 \leq M_0 - 1; 0 \leq k_1 \leq M_1 - 1)$$

$$Y(k_0, k_1) = \sum_{m_0=0}^{M_0-1} Z'(m_0, k_1) \cdot W_{M_0}^{m_0 \cdot k_0} \quad (5)$$

$$(0 \leq k_0 \leq M_0 - 1; 0 \leq k_1 \leq M_1 - 1)$$

再注意到数组 Y, Z, Z', Y 可公用 y, f 及 F 可公用 f , 则有下面算法.

Algorithm 1. 计算一维 DFT(式(1))的“长化短”FFT 算法.

Procedure FFT1(f, M)(输入时 f 为 $M = 2^n$ 点序列, 输出时 f 放结果).

- 1) 由 M 计算 M_0, M_1 并定义 $y(0; M_0 - 1; 0; M_1 - 1)$;
- 2) 将 f 数组按列序依次放入 y 中(见图 1);
- 3) 对 y 的每一行, 用普通 FFT 计算 M_1 点 DFT, 其结果放回原行;
- 4) 对 y 中每一元 $y(m_0, k_1)$ 乘上因子 $W_M^{m_0 \cdot k_1}$;
- 5) 对 y 的每一列, 用普通 FFT 计算 M_0 点 DFT, 其结果放回原列;
- 6) 将数组按行序依次放入 f 数组中(见图 2).

定理 2 Algorithm 1 能正确计算 1-DFT, 且完成 M 点 DFT 需 $\frac{M}{2} \cdot \log_2 M + M$ 次复乘及 $M \cdot \log_2 M$ 次复加.

证: 见文献[3]

2 一维 DFT 阵列协处理器的设计与分析

由于协处理器具有较高性能价格比且现有 DFT 芯片变换长度一般较短, 因而研究 DFT 的 VLSI 的阵列型协处理器具有理论和实用价值.

2.1 $M = 2^2$ 长的阵列协处理器的设计及分析

当变换长度 $M = 2^2$ 时, 令 $M' = 2'$, Algorithm 1 等价于下面算法.

Algorithm 2. $M = 2^2$ 时计算 1-DFT 的“长化短”FFT 算法

Procedure FFT2(f, M), (输入时 f 为 $M = 2^2$ 点序列, 输出时为结果)

- 1) 由 M 计算 M' ($M = 2^2; M' = 2'$), 定义 $y(0; M' - 1; 0; M' - 1)$;
- 2) 将 f 数组按行序依次放入 y 中, 将 y 转置;
- 3) 对 y 的每一行, 用普通 FFT 算法计算 M' 点 DFT, 其结果放回原行;

- 4) 对 y 的每一元 $y(m_0, k_1)$ 乘因子 $W_N^{m_0 k_1}$, 然后将其转置;
- 5) 对 y 的每一行, 用普通 FFT 算法计算 M' 点 DFT, 其结果放回原行;
- 6) 将 y 转置, 将 y 按行放入 f 中。

Algorithm 2 的计算流程(以 $2 \cdot 2$ 点为例) 如图 3 所示, 它具有“规整性”和“对称性”两特点。

利用 Algorithm 2 的计算流程, 则可设计出计算 2^{2l} 点 DFT 的 VLSI 阵列协处理器。图 4 给出了 $2^{2 \times 2} = 16$ 点 DFT 阵列协处理器结构。其中每位移 / 设置寄存器的逻辑图及功能表如图 5 所示。

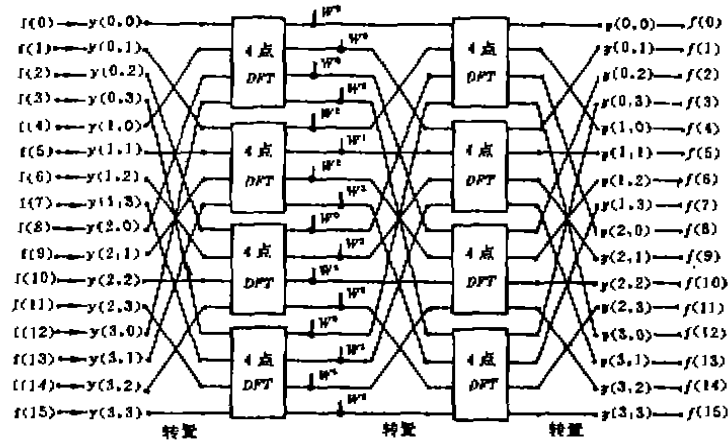


图 3 Algorithm 2 计算 $2^{2l}(l=2)$ 点 DFT 流程

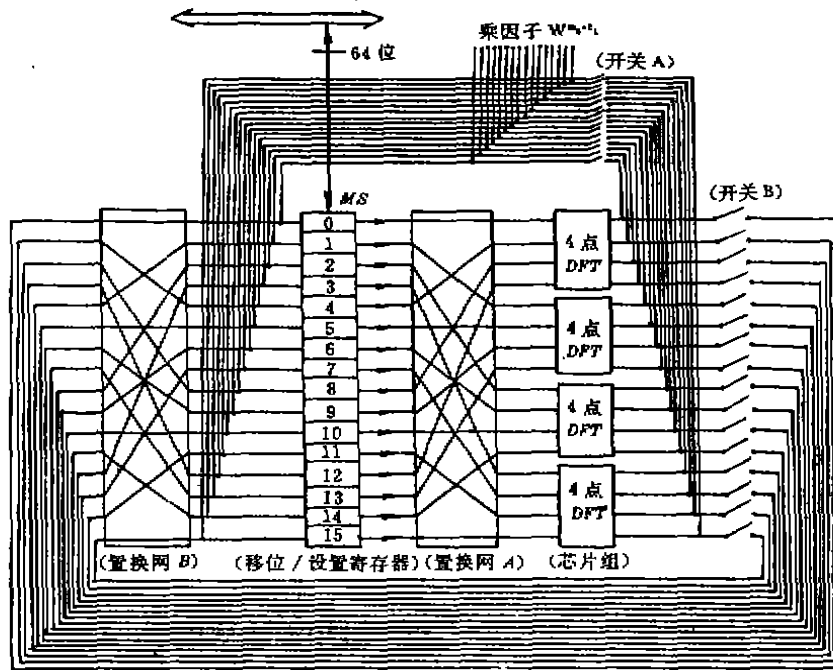


图 4 $2^l \cdot 2^l(l=2)$ 点 DFT 阵列协处理器的结构

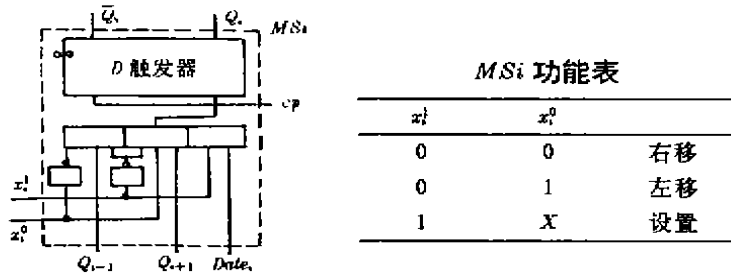


图 5 移位/设置寄存器(一位)的逻辑图与功能表

2^{2l} 长 DFT 阵列协处理器由 $2^{2l} \times 64$ 个移位/设置寄存器(2^{2l} 点, 每点 64 位), 两个 2^{2l} 点输入 2^{2l} 点输出的置换网, 2^l 片 2^l 点 DFT 芯片, 2^{2l} 个复数乘法器, 两组三态开关 A 及 B(每组 $2^{2l} \times 64$) 以及一条 64 位宽的数据传输线构成。

其工作过程如下。中央处理机首先以 DMA 方式将 2^{2l} 点序列从主存传送到移位/设置寄存器(即 MS)中。数据通过置换网 A 到达芯片组的输入端, 这时 2^l 片 2^l 长 DFT 芯片并行完成第一次计算, 其结果通过开关 A, 并行乘法网后又置入 MS 中。其后数据又通过置换网 A 到达芯片组输入端, 这时 2^l 片 2^l 点 DFT 芯片并行完成第二次计算, 其结果通过开关 B, 置换网 B 置入 MS 中。最后中央处理机以 DMA 方式将 MS 中的变换结果传回主存。

2^{2l} 点 DFT 阵列协处理器完成 $M = 2^{2l}$ 点 DFT 所需时间 $T_{\text{comp}}(2^{2l})$ 分为两部分。一是主存与移位/设置寄存器组 MS 间数据传输的时间(一次从主存到 MS, 一次从 MS 到主存)。该时耗为 $2 \cdot T_{\text{DMA}}(2^{2l}) = 2 \cdot C_{\text{DMA}} \cdot 2^{2l}$ 。其中 $T_{\text{DMA}}(x)$ 表示用 DMA 方式在主存与 MS 间传输 x 点复数数据的时耗, 而 C_{DMA} 为这种情形下传输一点数据的平均时耗。由于移位/设置寄存器的翻转周期可与主存的存取周期 t_m 相匹配, 则有 $C_{\text{DMA}} = 2 \cdot t_m$ 。因而 $2 \cdot T_{\text{DMA}}(2^{2l}) = 4 \cdot t_m \cdot 2^{2l}$ 。

$T_{\text{comp}}(2^{2l})$ 的第二部分是 2^l 片 2^l 长 DFT 芯片完成 2^l 点 DFT 所需时间的两倍, 即约等于 $2T_{\text{DFTC}}(2^l)$ 。因此有:

$$T_{\text{comp}}(2^{2l}) = 4 \cdot t_m \cdot 2^{2l} + 2 \cdot T_{\text{DFTC}}(2^l)$$

由结论 1 知道普通 FFT 完成 $M = 2^{2l}$ 点 DFT 约需 $(M/2) \cdot \log_2 M$ 次复乘, $M \cdot \log_2 M$ 次复加。即需 $4 \cdot 2^{2l} \cdot t$ 次实数乘法, $6 \cdot 2^{2l} \cdot t$ 次实数加法。通常用指令实现时, 一次实数乘法约需 30 个主存周期, 一次实数加法约需 10 个主存周期, 因此普通 FFT 完成 2^{2l} 点 DFT 所需时间约为:

$$T_{\text{FFT}}(2^{2l}) > 30 \cdot t_m \cdot 4 \cdot 2^{2l} \cdot t + 10 t_m \cdot 6 \cdot 2^{2l} \cdot t = 180 t_m \cdot 2^{2l} \cdot t$$

则用阵列协处理器计算 $M = 2^{2l}$ 点 DFT 相比用普通 FFT 算法计算的加速比为:

$$S_p(2^{2l}) = \frac{T_{\text{FFT}}(2^{2l})}{T_{\text{comp}}(2^{2l})} \geq \frac{180 t_m \cdot 2^{2l} \cdot t}{4 \cdot t_m \cdot 2^{2l} + 2 \cdot T_{\text{DFTC}}(2^l)}$$

若假定 $2 \cdot T_{\text{DFTC}}(2^l) < 4 \cdot t_m \cdot 2^{2l}$ (即计算时间小于数传时间), 则:

$$S_p(2^{2l}) > 22.5 \times t; \text{ 当 } t = 6 \text{ 时 } S_p(4096) > 135 \text{ (倍)}$$

这说明, 在合理假定下, 用阵列协处理器完成 4096 点 DFT 相比用串行算法快 135 倍左右。

2) $M = 2^{2l+1}$ 长的阵列协处理器的设计及分析

容易推知,一个 $M = 2^{2s+1}$ 点 DFT

$$F(k) = \sum_{m=0}^{M-1} f(m) \cdot W_M^{km} \quad (6)$$

$(k = 0, 1, \dots, M-1; M = 2^{2s+1}; W_M = e^{-j2\pi/M})$

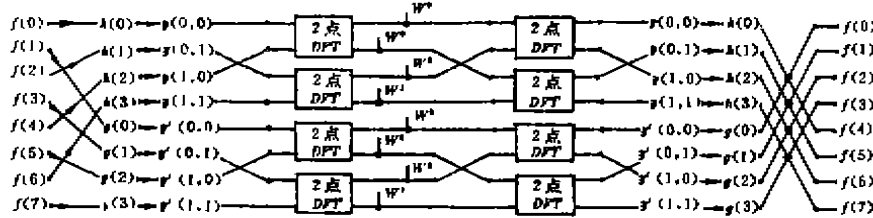


图 6 Algorithm3 计算 $2^{2s+1}=8$ 点 DFT 的流程

可由下两式计算,即:

$$\begin{cases} F(k) = F_{\text{even}}(k) + F_{\text{odd}}(k) \cdot W_M^k & (7) \\ F(k + M/2) = F_{\text{even}}(k) - F_{\text{odd}}(k) \cdot W_M^k & (8) \end{cases}$$

$$(k = 0, 1, \dots, M/2 - 1; M/2 = 2^s)$$

其中

$$F_{\text{even}}(k) = \sum_{m=0}^{M/2-1} f(2m) \cdot W_{M/2}^{km} \quad (9)$$

$$F_{\text{odd}}(k) = \sum_{m=0}^{M/2-1} f(2m+1) \cdot W_{M/2}^{km} \quad (10)$$

$$(k = 0, 1, \dots, M/2 - 1; M/2 = 2^s)$$

注意式(9)、(10)是 2^s 点 DFT,可用 Algorithm 2 计算,则有算法:

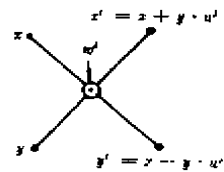
Algorithm 3 $M = 2^{2s+1}$ 的计算 M 点 DFT 的“长化短”算法

Procedure FFT3(f, M) (输入 f 为 $M = 2^{2s+1}$ 点复序列,输出为结果)

- 1) 定义两个 $M/2$ 点的一维数组 h 和 g ;
- 2) 令 h 中放置 f 中具有偶下标的抽取点; g 中放置 f 中具有奇下标的抽取点;
- 3) CALL FFT2($h, M/2$); CALL FFT2($g, M/2$); (用 Algorithm 2 计算 $M/2$ 点 DFT);
- 4) for $k \leftarrow 0$ to $M/2 - 1$ do

$$\{t \leftarrow g(k) \cdot W_M^k; f(k) \leftarrow h(k) + t; f(k + M/2) \leftarrow h(k) - t;\}$$

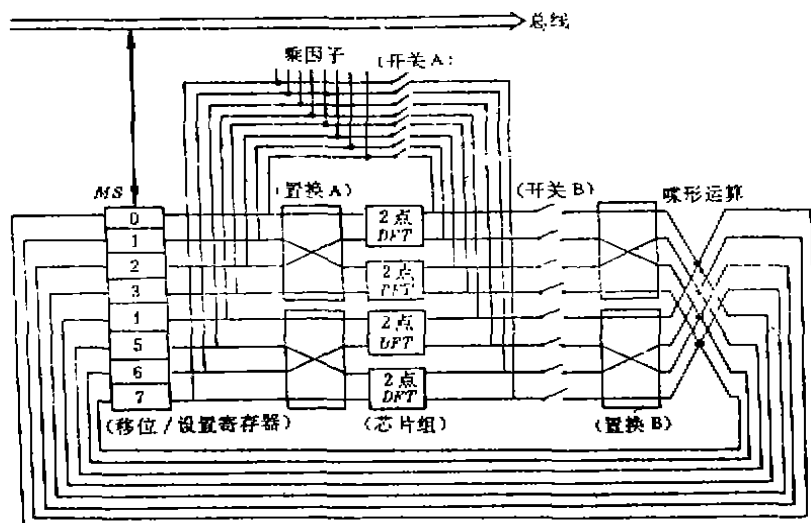
图 7 蝶形运算功能图



根据该算法及 Algorithm 2 则可得到计算 $M = 2^{2s+1}$ 点 DFT 的计算流程.图 6 给出 $2^{2s+1} = 8$ 点 DFT 的流程,其中每个蝶形运算是图 7 中省略 W_M^k 的形式。

利用 Algorithm3 及其流程,可设计出 2^{2s+1} 点 DFT 的阵列协处理器.例如,图 8 给出了 8 点 DFT 的阵列协处理器结构。

类似于 2^s 阵列协处理器的讨论,我们可以给出 2^{2s+1} 点 DFT 阵列协处理器的组成,工作过程及性能分析.有关问题可参见文献[8].

图 8 2^{2^l+1} ($l=1$) 点 DFT 阵列协处理器

3 结束语

1) 因变换长度 M 几乎总为 2^a ($a \in \mathbb{Z}^+$) 形式, 则 M 总可表示为 $M = 2^{2^a}$ 或 2^{2^a+1} 的形式。因而总可用短 DFT 芯片构成所需变换长度的阵列协处理器。但从实用角度看, $M = 2^{2^a}$ 型阵列协处理器比较易于实现。

2) 本文核心是利用 DFT 可“规整分解”且分解后的计算具有“对称性”两特点, 构成能减少一半芯片量的阵列协处理器。并采用移位/设置寄存器组作为数据交换的接口, 较好解决数传瓶颈。

3) 应注意文中方法具有递归性质, 这种递归性质用于设计 DFT 专用芯片时可望使布线规整并能较大幅度减少硬件复杂度。

4) 文中设计 DFT 阵列协处理器的方法可用于 Walsh 变换阵列协处理器设计^[7]。

参 考 文 献

- 1 Nussbaumer H J. Fast Fourier Transform and Convolution Algorithms, Springer-Verlag Berlin Heidelberg New York, 1981
- 2 A Norton, et al. Parallelization and Performance Analysis of the Cooley-Tukey FFT Algorithm for shared-Memory Architectures, IEEE Trans, on Computer, 1987, 581~591
- 3 周六丁等. 一种计算一维 Fourier 变换的 MIMD 并行算法. 计算机学报, 1991(7): 548~552
- 4 汪亚南等. TMS320 系列高速单片计算机原理与应用. 成都: 电子科技大学出版社, 1991
- 5 K. Huang, et al. Computer Architecture and Parallel Processing, McGraw-Hill Book Company, 1984, 325~327
- 6 张德富等. 构造宏流水线并行算法的一种有效方法. 计算机学报, 1989(7): 617~625
- 7 周六丁等. 一维 Walsh 变换的阵列协处理器的设计. 计算机学报, 1993(1): 59~64
- 8 周六丁. 正交变换, 卷积及组合问题快速计算. 重庆大学博士论文, 1991, 5